3HEPLETHKA

УЛК 621.311

## C. P. HAHHKSH

## РАЗВИТИЕ МЕТОДОВ ИССЛЕДОВАНИЯ РЕЖИМОВ РАБОТЫ ТЕПЛОФИКАЦИОННЫХ ТУРБИН

Предлагается новый метод для исследования режимов работ теплофикационных турбии, при котором изменение электрической пагрузки в зависимости от продолжие тельности представляется не в виде кривой, а интервала. Ночый метод от существующей методике отличается тем, что учитывает не усредненное и интервального важчение  $N_{\rm p}$ . Затем производится сопоставление режимов между явтерявляети

Ил 1 Табл. 1 Биолкого.: 3 назв

-ոցվածում ստաջարկվում է բերմաֆիկացիոն տուրբինների ռեժիմների ռւսումնասիրման հոր ժեքող, որի դեպթում էլնետրական հրորդ այլ տիրույքի ձևով։ Նար ժեքողը գոյություն անհողտ փանությունից, ներկայացվում է օլ ին կորի, այլ տիրույքի ձևով։ Նար ժեքողը գոյություն ունեցորից տարբերվում և նրանով, որ աշվի է առնում \լի ոչ ին միջինացվամ, այլ տիրույքների արժերը, որից հետո ռեժիմների հաժեմատությունը կատարվում է արձաւյքների ժիշն.

В настоящее время все показатели ТЭП определяются на основа наи характеристик (графических и расчетных), что вызывает некото рую веопределенность исходной информации и может привести к неправильной оценке показателей ТЭП Для неследования режимов работ ТЭП или теплофикационных гурбии шароко используется многофакториая расчетная характеристика гурбины, которая получается на базе обработки исходных данных (электрическая мошность турбины  $N_{\odot}$ , MBr; тепловая нагрузка турбины  $Q_{\odot}$ , MBr; расход сетевой воды  $G_{\odot}$ , MBr; тепловая нагрузка турбины  $Q_{\odot}$ , MBr; расход сетевой воды  $G_{\odot}$ , MBr; теплофакационных турбин Т 180/210 130 и Т 175/210-130 расчетные характеристики получены в [1—3]

В данной работе исследуются режимы работ этих же турбия с учетом неопределенности исходной информации и погрешности характеристики. Для режимов работы по гепловому графику с двухступенчатым подогревом сетевой воды и работах [1, 3] предлагаются следующие расчетные характеристики:

для турбины Т-175/210-130 —

$$N_x = f(Q_x - G_{0x}, t_0),$$

$$N_t = 131.8 + 30.62X_1 + 10.92X_2 - 23.9X_1 - 5.95X_1^2$$

$$-5.58X_1X_2 - 5.75X_1X_2 + 3.65X_1^2$$

$$\text{rge } X_1 = (Q_x - 243)/81.5, \quad X_2 = (G_{0x} - 5000)(10), \quad X_3 - (t_{0x} - 55)/20;$$

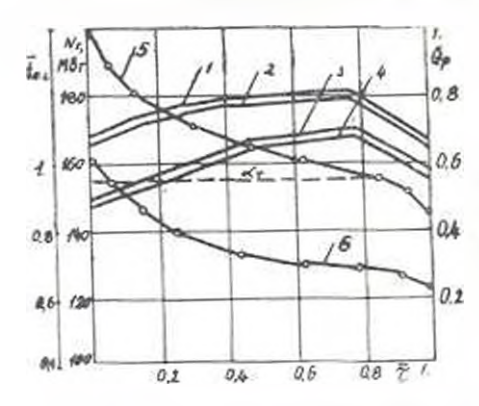
для турбины Т-180 210-130-

$$N_{7} = 167.23 + 28.0X_{1} + 1.44X_{2} - 9.13X_{3} - 16.25X_{1}^{2} + 5.57X_{2}^{2} - 18.64X_{1}X_{2} - 9.01X_{1}X_{3} + 7.38X_{2}X_{3},$$

$$(2)$$
The  $X_{1} = (Q_{7} - 280)/50$ ,  $X_{2} = (G_{50} - 1400)/25$ ,  $X_{3} = (G_{50} - 55)/10$ ,

где 
$$X_1 = (Q_7 - 280)/50$$
,  $X_2 = (G_{co} - 1400)/25$ ,  $X_3 = (t_{obs} - 55)/10$ ,  $255 < Q_7 < 300$  MBm.  $1100 < G_{co} < 1700$  кг с.  $40 < t_{obs} < 65$ °C.

Эти характеристики используются для определения зависимости изменения электрической мощности по продолжительности стояния тепловой нагрузки  $z(N_{\rm t}=f(z))$ . Когда теплофикационная турбина работает по тепловому графику, потери теплоты в конденсаторе имеют фиксированное минимальное значение в удельный расход топлини характеризует экономичность только котла. Исходя из этого, в качестве показителя эффективности работы теплофикационной турбины выбирается удельная выработка электроэнергии на тепловом потреблении.



На рисунке показаны зависимости значений  $N_{\rm L}$ ,  $Q_{\rm pl}$  от продолжительности стояния тепловой изгрузки г для климатических условий г. Еревана. Зависимость  $t_{\rm o,r}=f(r)$  (кривая б) получена с использованием гемпературного графика обратной сетевой воды  $t_{\rm o,c}=f(t_{\rm int})$  и температурной характеристики наружного воздуха  $\overline{z}=f(t_{\rm int})$ . Здесь  $\overline{t_{\rm int}}=\frac{1}{t_{\rm o,c}}$  где — текущее значение темпера-

туры обратной сетевой воды, а  $R_{\rm c}$  - максимальное значение температуры обратной сетевой воды и температурном графике.

Исследование проводилось на ЭВМ с помощью разработанной программы, при этом в качестве исходной информации задается погрешность расчетных зависимостей и получены верхияя и фижняя границы зависимости  $N_T = f(\tau)$ .

Рассмотрим методику месячного анализа режимов работы теплофикационных турбии данного типа для января месяца в условиях г. Еревана. При обычном анализе [2] получаем 8,3%, а при интервальном анализе [4] от 6,5% до 10,1%:

| Без учета исопределенности |         |          |                               |   |  |
|----------------------------|---------|----------|-------------------------------|---|--|
| Месяцы                     | fep, °C | тыс. ГДж | Э <sup>м</sup> .<br>тыс. МВтч | $= \frac{\kappa B m q}{\kappa B m q} \left  \frac{\kappa B m q}{\Gamma \kappa a A} \right $ |  |
| япаеръ                     | -4      | 826,2    | 120,9                         | 0.527 612.6 667.8   |  |
| фен аль                    | -t.3    | 748.3    | 108,1                         | $\frac{0.520}{0.57} \mid \frac{604.7}{662.3} \mid$  |  |
| март                       | -5,4    | 699,4    | 114.4                         | 0.589 684.7   |  |
| воя∂ <b>рь</b>             | +6.2    | 663,7    | 110,5<br>127,4                | $\frac{0.599}{0.69} \mid \frac{696.9}{803.5} \mid$  |  |
| a. <b>xa</b> 6pa           | -0,9    | 811,4    | 120                           | $\frac{0.532}{0.58} \mid \frac{619.1}{674.3} \mid$  |  |

| $\Theta^{\rm M}$ , тыс $MBm^{\rm M}$ $= \frac{\kappa Bm^{\rm M}}{\kappa Bm^{\rm M}} \cdot \frac{\kappa Bm^{\rm M}}{\Gamma \kappa a_A}$ |                         |  |  |  |
|--|-------------------------|--|--|--|
|  |                         |  |  |  |
| 130,5,133,1  | 0,5690,58 661.2. 674.4  |  |  |  |
| 107,1109.1   | 0,5150.525 599.1nto.3   |  |  |  |
| 117,2119,6   | 0,5640.575 655,6669,1   |  |  |  |
| 113,3115,5   | 0.5-30.595   678,1691,3 |  |  |  |
| 127129,6   | 0,6540,067 760,1775,7   |  |  |  |
| 109.4 111.6  | U,5930,605   6907(3,9   |  |  |  |
| 126.1128.7   | 0,684 .0 698 795,3811,7 |  |  |  |
| 118,8121,2   | 0,5270,538 612.9625,3   |  |  |  |
| 129.4. 132   | 0,5740,586 667,6681     |  |  |  |

$$\mathfrak{D}_{\tau} = \int_{0}^{\tau} \overline{N}_{\tau}(\tau) d\tau; \qquad \qquad \underline{\mathfrak{D}}_{\tau} = \int_{0}^{\tau} \underline{N}_{\tau}(\tau) d\tau; \qquad \qquad \underline{\mathfrak{D}}_{\tau} = \int_{0}^{\tau} \overline{N}_{\tau}(\tau) d\tau; \qquad \qquad \underline{\mathfrak{D}}_{\tau} = \int_{0}^{\tau} N_{\tau}(\tau) d\tau; \qquad \qquad \mathfrak{D}_{\tau 1} = \int_{0}^{\tau} N_{\tau 1}(\tau) d\tau; \qquad \qquad \mathfrak{D}_{\tau 2} = \int_{0}^{\tau} N_{\tau 1}(\tau) d\tau; \qquad \qquad \mathfrak{D}_{\tau 3} = \int_{0}^{\tau} N_{\tau 1}(\tau) d\tau; \qquad \qquad \mathfrak{D}_{\tau 4} = \int_{0}^{\tau} N_{\tau 1}(\tau) d\tau; \qquad \qquad \mathfrak{D}_{\tau 4} = \int_{0}^{\tau} N_{\tau 1}(\tau) d\tau; \qquad \qquad \mathfrak{D}_{\tau 5} = \int_{0}^{\tau} N_{\tau 1}(\tau) d\tau; \qquad \qquad \mathfrak{D}_{\tau 7} = \int_{0}^{\tau} N_{\tau 1}(\tau) d\tau; \qquad \qquad \mathfrak{D}_{\tau 7} = \int_{0}^{\tau} N_{\tau 1}(\tau) d\tau; \qquad \qquad \mathfrak{D}_{\tau 7} = \int_{0}^{\tau} N_{\tau 1}(\tau) d\tau; \qquad \qquad \mathfrak{D}_{\tau 7} = \int_{0}^{\tau} N_{\tau 1}(\tau) d\tau; \qquad \qquad \mathfrak{D}_{\tau 7} = \int_{0}^{\tau} N_{\tau 1}(\tau) d\tau; \qquad \qquad \mathfrak{D}_{\tau 7} = \int_{0}^{\tau} N_{\tau 1}(\tau) d\tau; \qquad \qquad \mathfrak{D}_{\tau 7} = \int_{0}^{\tau} N_{\tau 1}(\tau) d\tau; \qquad \qquad \mathfrak{D}_{\tau 7} = \int_{0}^{\tau} N_{\tau 1}(\tau) d\tau; \qquad \qquad \mathfrak{D}_{\tau 7} = \int_{0}^{\tau} N_{\tau 1}(\tau) d\tau; \qquad \qquad \mathfrak{D}_{\tau 7} = \int_{0}^{\tau} N_{\tau 1}(\tau) d\tau; \qquad \qquad \mathfrak{D}_{\tau 7} = \int_{0}^{\tau} N_{\tau 1}(\tau) d\tau; \qquad \qquad \mathfrak{D}_{\tau 7} = \int_{0}^{\tau} N_{\tau 1}(\tau) d\tau; \qquad \qquad \mathfrak{D}_{\tau 7} = \int_{0}^{\tau} N_{\tau 1}(\tau) d\tau; \qquad \qquad \mathfrak{D}_{\tau 7} = \int_{0}^{\tau} N_{\tau 1}(\tau) d\tau; \qquad \qquad \mathfrak{D}_{\tau 7} = \int_{0}^{\tau} N_{\tau 1}(\tau) d\tau; \qquad \qquad \mathfrak{D}_{\tau 7} = \int_{0}^{\tau} N_{\tau 1}(\tau) d\tau; \qquad \qquad \mathfrak{D}_{\tau 7} = \int_{0}^{\tau} N_{\tau 1}(\tau) d\tau; \qquad \qquad \mathfrak{D}_{\tau 7} = \int_{0}^{\tau} N_{\tau 1}(\tau) d\tau; \qquad \qquad \mathfrak{D}_{\tau 7} = \int_{0}^{\tau} N_{\tau 1}(\tau) d\tau; \qquad \qquad \mathfrak{D}_{\tau 7} = \int_{0}^{\tau} N_{\tau 1}(\tau) d\tau; \qquad \qquad \mathfrak{D}_{\tau 7} = \int_{0}^{\tau} N_{\tau 1}(\tau) d\tau; \qquad \qquad \mathfrak{D}_{\tau 7} = \int_{0}^{\tau} N_{\tau 1}(\tau) d\tau; \qquad \qquad \mathfrak{D}_{\tau 7} = \int_{0}^{\tau} N_{\tau 1}(\tau) d\tau; \qquad \qquad \mathfrak{D}_{\tau 7} = \int_{0}^{\tau} N_{\tau 1}(\tau) d\tau; \qquad \qquad \mathfrak{D}_{\tau 7} = \int_{0}^{\tau} N_{\tau 1}(\tau) d\tau; \qquad \qquad \mathfrak{D}_{\tau 7} = \int_{0}^{\tau} N_{\tau 1}(\tau) d\tau; \qquad \qquad \mathfrak{D}_{\tau 7} = \int_{0}^{\tau} N_{\tau 1}(\tau) d\tau; \qquad \qquad \mathfrak{D}_{\tau 7} = \int_{0}^{\tau} N_{\tau 1}(\tau) d\tau; \qquad \qquad \mathfrak{D}_{\tau 7} = \int_{0}^{\tau} N_{\tau 1}(\tau) d\tau; \qquad \qquad \mathfrak{D}_{\tau 7} = \int_{0}^{\tau} N_{\tau 1}(\tau) d\tau; \qquad \qquad \mathfrak{D}_{\tau 7} = \int_{0}^{\tau} N_{\tau 1}(\tau) d\tau; \qquad \qquad \mathfrak{D}_{\tau 7} = \int_{0}^{\tau} N_{\tau 1}(\tau) d\tau; \qquad \qquad \mathfrak{D}_{\tau 7} = \int_{0}^{\tau} N_{\tau 1}(\tau) d\tau; \qquad \qquad \mathfrak{D}_{\tau 7} = \int_{0}^{\tau} N_{\tau 1}(\tau) d\tau; \qquad \qquad \mathfrak{D}_{\tau 7} = \int_{0}^{\tau} N_{\tau 1}(\tau) d\tau; \qquad \qquad \mathfrak{D}_{\tau 7} = \int_{0}^{\tau} N_{\tau 1}(\tau) d\tau; \qquad \qquad \mathfrak{D}_{\tau 7} = \int_{0}^{\tau} N_{\tau 1}(\tau) d\tau; \qquad \qquad \mathfrak{D}_{\tau 7} = \int_{0}^{\tau} N_{\tau 1}(\tau) d\tau; \qquad \qquad \mathfrak{D}_{\tau 7} = \int_{0}^{\tau} N_$$

Здесь  $\Theta_{\rm r}$ ,  $\Theta_{\rm r}$  нерхняя и нижняя границы интервала для турбины T-180/210-130 (кривые 1, 2 на рисунке);  $\Theta_{\rm r}$ ,  $\Theta_{\rm l}$  то же, для турбины T-175/210-130 (кривые 3, 4 на рисунке).  $\Theta_{\rm rl}$ ,  $\Theta_{\rm rr}$  – месячные выработки электроэпергия для турбин T-180/210-130 и T-175/210-130 при обычном апализе. Результаты расчетов месячного отпуска теп

лоты  $Q_{ij}$  аб олютной  $\Theta^{ij}$  и удельной  $\Phi^{ij}_{ij} = \frac{\Theta^{ij}_{ij}}{Q^{ij}}$  выработок электроэнергии на тепловом потреблении при  $\alpha_{ij}$  0,56 для г. Еревана с учетом и без учета неопределенности приведены в таблице: в числителе — для турбины T-175,210-130, а и знаменителе для

Разработанная методика и программа расчета на ЭВМ помесячного анализа режимов работы геплофикационных турбии с учетом неопретеленности исходной информации дают возможность представить показатели в интервальном виде.

## ЛИТЕРАТУРА

- Папикия € Р., Гаринфельд В. Я., Ляликов Б. А. Влияние температурных марактеристик на эффективность режимов отпуска теплоты и выработки электролюргии на тепловом потреблении // Теплоэнергстика.— 1987.— № 9. С. 65—67.
- Гирифельд В. Я., Микулич Г. В. Папикян С. Р. Аналял рожниов отпуска тепла на отоянтельной ТЭЦ с учетом веопределенности исходной информации // Теплоиергетика. 1988 — № 8.— С. 48—50.
- Гирипрельд В. Я., Киязев А. М. Куликов В. Е. Режимы работы и эксплуатация ТЭС.— М.: Экергия, 1980 — 288 с.
- Изпикан С. Р. Совершенствование метода планирования и лиализа коназателей систем теплоснабжения // Теа. докл. Всесоюз. науч.— тех. сов. «Повышение надежности систем теплоснабжения».— Чайковский Изд-во Информацеого.—
  1988 С. 11

АрмНИИЭ 29. V 1988

T-180/210-130.